

A1.

(1)

(1.1) 使用数学归纳法。

首先, 如果 $\varphi(s, v) = 2$, 则 s 到 v 的最短路径就是 s 到 v 的边, 因此在第一轮松弛时, v 的最短路径即被确定。

考虑 $\varphi(s, v) = k$, 记这条路径上 v 的前驱节点为 u , u 的最短路在第 t 轮中被确定, 则根据归纳假设, $t \leq \varphi(s, u) - 1 = \varphi(s, v) - 2$ 。分两种情况讨论:

- 如果 u 在第 t 轮中需要出队, 且最短路被确定时尚未出队, 则 u 的下一轮出队, 出队时确定 v 的最短路。
- 如果 u 在第 t 轮中不需要出队, 或者需要出队, 但在最短路确定前已经出队, 则 u 的下一轮出队, 出队时确定 v 的最短路。

无论哪种情况, v 的最短路被确定的轮数都不超过 $t + 1 = \varphi(s, v) - 1$

(1.2) 如图1所示, 构造有 $2n + 1$ 个点和 $3n + m - 1$ 条边的图 $G_{n,m}$ (图中省略了上排 n 个节点之间的 m 条边), 适当安排各边在邻接表中的顺序, 使得在第一轮中, 外圈节点从 t 开始逆时针入队。不难验证, 在第 k 轮 ($1 \leq k \leq n$) 中, 点 t 的当前最短路径被松弛为 $3^{n-k} + k - 1$, 进而引发上排节点之间的 m 次松弛, 因此用时下界为 $\Omega(nm)$

(2)

(2.1) 算法 2 与 Dijkstra 算法的区别是: 它允许用负权边松弛已在 S 中的节点, 并将其重新加入优先队列, 这使得它能够像 Bellman-Ford 算法一样完成所有可能的松弛, 因此正确地求出有非正权边的图上的最短路。

(2.2) 如图2所示, 构造有 $2n - 1$ 个点和 $3n - 3$ 条边的图 G_n , 不难验证, 最右边的点的当前最短路径会被依次松弛为 $0, -1, -2, \dots, 1 - 2^{n-1}$, 共被松弛了 2^{n-1} 次, 因此用时下界为 $\Omega(2^n)$

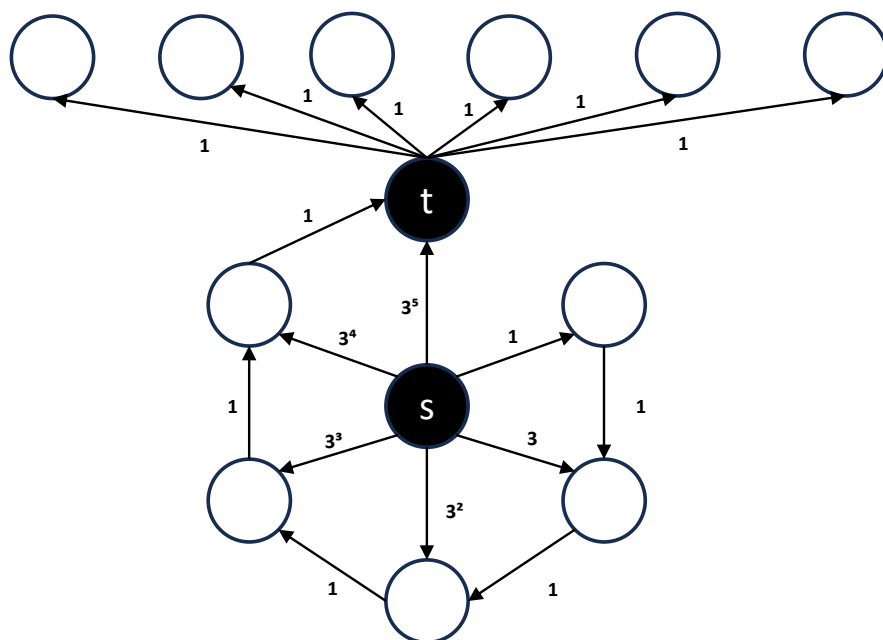


图 1: SPFA 在正权图上的较差情况示例

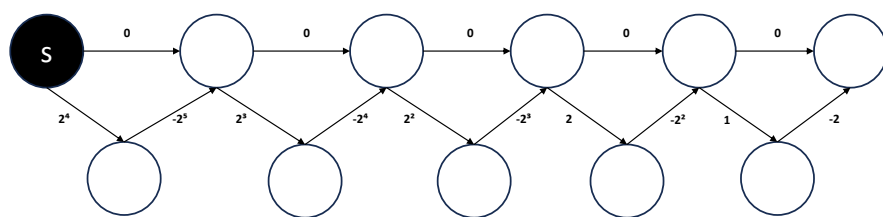


图 2: 算法 2 的较差情况示例

A2.

(1)

(1.1) 如图3所示，黑色边为树边，红色边为后向边，蓝色边为前向边，绿色边为横向边。强连通分量组成的有向无环图见图4。

(1.2) 如图5所示，黑色边为树边，红色边为后向边，黑色节点为割点，虚线边为桥。边上的箭头表示探索的方向。

(2) 根据 low 数组的定义，易得以下递推式：

$$\text{low}[u] = \min \left\{ \text{dfn}[u], \min_{v \text{ 在 } G_\pi \text{ 中是 } u \text{ 的子节点}} \text{low}[v], \min_{\substack{\langle u,v \rangle \text{ 为非树边} \\ v \rightsquigarrow u}} \text{dfn}[v] \right\}$$

因此问题归结于：当 $\langle u, v \rangle$ 是非树边时，如何判断 v 是否可达 u 。我们可以用一个栈记录“所有已访问节点中，有哪些节点能够连通到当前节点”。每当访问新的节点时，就将其压入栈中。每当节点 v 访问结束、即将回溯到父节点之前，判断 $\text{dfn}[v]$ 和 $\text{low}[v]$ 的大小关系：如果 $\text{low}[v] < \text{dfn}[v]$ ，那么只要 $\text{low}[v]$ 未出栈， v 就仍能通过 $\text{low}[v]$ 连通到新节点，因此 v 现在不能出栈，而应该和 $\text{low}[v]$ 一同出栈；如果 $\text{low}[v] = \text{dfn}[v]$ ，则从 v 出发的所有路径都终止于 S_v ，之后 v 再无连通到新节点的可能性，因此可以将 v 出栈。与此同时，栈中所有晚于 v 入栈的节点也一同出栈。

在无向图中，上述栈不是必需的，因为 $u \rightsquigarrow v$ 本身就意味着 $v \rightsquigarrow u$

(3)

(3.1) 显然，一个强连通分量中有且仅有一个“代表节点”的 dfn 值与 low 值相等，代表节点是此强连通分量中第一个被访问的点。在 (2) 的栈维护过程中，强连通分量中的所有点都会和代表节点一同出栈，由此可以找出所有强连通分量。此外，代表节点在 G_π 中的入边构成了强连通分量有向无环图中的边。

(3.2) 显然，对于节点 u ：

- 如果 u 是 DFS 起始点（也即 G_π 中的根），则 u 是割点当且仅当： u 在 G_π 中的出度大于 1。
- 如果 u 不是 DFS 起始点，那么 u 是割点当且仅当：存在 G_π 中的子节点 v ，使得 $\text{low}[v] \geq \text{dfn}[u]$

(3.3) 显然，桥必须是树边。记树边 $e = \langle u, v \rangle$ ， $\text{dfn}[u] < \text{dfn}[v]$ ，不难发现， e 是桥当且仅当： $\text{low}[v] > \text{dfn}[u]$

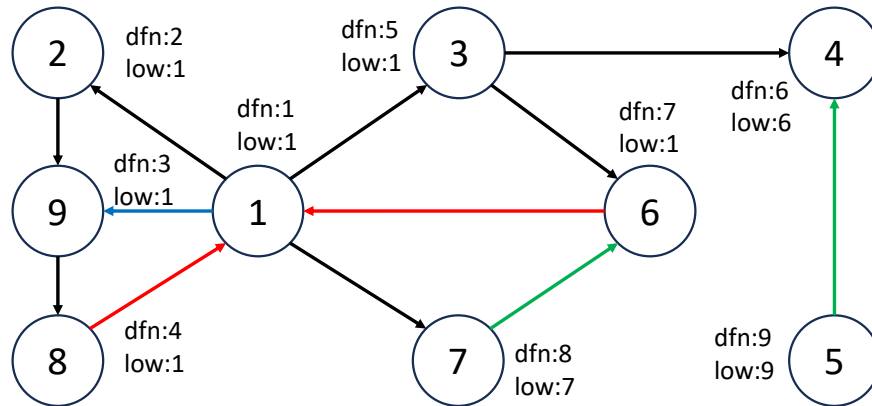


图 3: 有向图 DFS

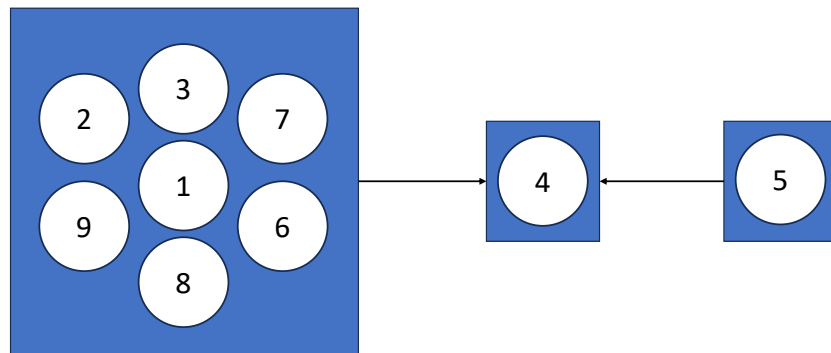


图 4: 连通分量图

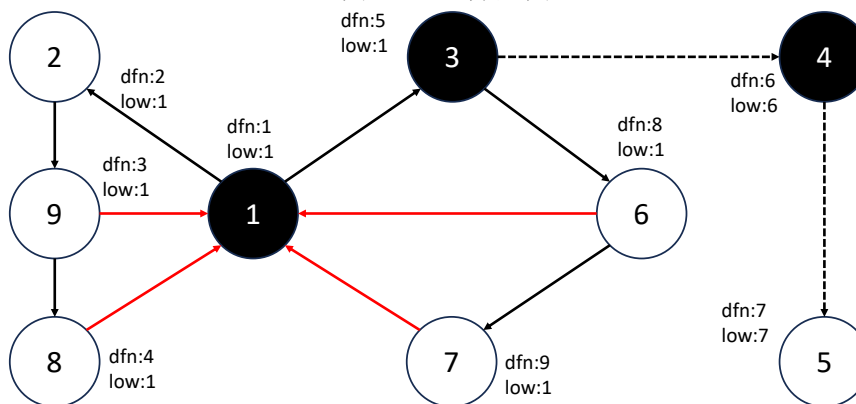


图 5: 无向图 DFS

A3.

(1) 对于给定的 w, u, v , 假设它们的编号分别为 k, i, j , 根据“环”的定义, 需要找到一条 u 到 v 的最短简单路径, 且路径上所有点的编号均小于 k 。联想 Floyd 算法的过程, 这一最短路径的长度即为 $d_{ij}^{(k-1)}$, 对 k, i, j 进行枚举, 可以在 $O(|V|^3)$ 时间内找到最小环:

$$\min_{k \geq 3} \min_{\substack{i, j < k \\ i \neq j}} \left(d_{ij}^{(k-1)} + d_{jk}^{(0)} + d_{ki}^{(0)} \right)$$

另外: 如果仿照 (2.2) 中的做法, 枚举所有边并运行 Dijkstra 算法, 最坏时间复杂度为 $O(|V||E| \lg |V| + |E|^2)$, 当 G 为稀疏图时较优。

(2)

(2.1) 对于入边 $\langle t, s \rangle$, 根据“环”的定义, 需要找到 s 到 t 的最短简单路径, 且这条路径上至少包含三个点。因为图中没有反向平行边, 因此可以直接运行以 s 为源点的 Dijkstra 算法, 所得到的最短路径一定满足上述条件。遍历所有入边, 最终得到的最小环的大小为:

$$\min_{\langle t, s \rangle \in E} (w(t, s) + \delta(s, t))$$

最坏时间复杂度为 $O(|V| \lg |V| + |E|)$

(2.2) 当存在反向平行边时, Dijkstra 算法有可能将 s 到 t 的直接连边作为最短路径, 这样构成的环不符合定义。因此, 对于每条入边 $\langle t, s \rangle$, 需要将 $\langle s, t \rangle$ (如果存在) 删除后运行 Dijkstra 算法。最坏情况需要运行 $|V| - 1$ 次 Dijkstra 算法, 因此最坏时间复杂度为 $O(|V|^2 \lg |V| + |V||E|)$

(3) 首先, 不断地删除度数为 1 的节点, 直到不能再删为止, 记此时得到的图为 G' 。若 $k = 0$, 则 G' 是一个环, 直接输出其大小即为结果。否则, 继续删除所有度数为 2 的节点, 但需要合并所在边的边权, 记此时得到的图为 G^* 。在 G^* 上求出最小环即可 (特别地, 此时图上可能存在重边, 且允许两个顶点通过两条不同的重边成环)。

显然, $|E'| - |V'| = k$ 。记 G' 中度数为 2 的节点个数为 t , 则其余节点的度数均不小于 3, 因此有: $2|E'| = \sum_{v \in V'} \deg(v) \geq 2t + 3(|V'| - t)$, 即 $t \geq |V'| - 2k$ 。每删除一个度数为 2 的节点, 节点数和边数都减一, 因此 $|V^*| = |V'| - t \leq 2k$, $|E^*| = |E'| - t \leq 3k$ 。 k 为常数, 因此 $|V^*|$ 、 $|E^*|$ 均为 $O(1)$, 求出 G^* 的最小环只需 $O(1)$ 时间, 算法总运行时间为 $O(|V|)$

A4.

(1)

(1.1) 如图6所示。

(1.2)

(1.2.1) 拓扑序相等意味着 p, q 在同一个强连通分量中, 即 $p \rightsquigarrow \neg p$ 且 $\neg p \rightsquigarrow p$ 。记 p 到 $\neg p$ 的一条路径为 $(p = u_0, u_1, u_2, \dots, u_{k-1}, u_k = \neg p)$ 。假设 2-CNF 可满足, 任取一个成真赋值, 有: $\forall 0 \leq i \leq k-1, u_i \rightarrow u_{i+1}$ 为真, 使用归纳法易证明此时 $u_0 \rightarrow u_k$ 也为真, 即 $p \rightarrow \neg p$ 为真, 即 p 为假。同理, 由 $\neg p \rightsquigarrow p$ 可知 p 为真, 矛盾。因此 2-CNF 不可满足。

(1.2.2) 将变量按以下方式进行赋值, 这显然具有线性最坏时间复杂度:

$$p \text{ 为 } \begin{cases} \text{假} & , \text{若 } \text{top}[p] < \text{top}[\neg p] \\ \text{真} & , \text{若 } \text{top}[p] > \text{top}[\neg p] \end{cases}$$

用反证法证明此赋值一定是 2-CNF 的一个成真赋值:

假设这一赋值使得 2-CNF 中某个子句 $p \vee q$ 为假, 那么 p, q 均为假, 因此 $\text{top}[p] < \text{top}[\neg p]$ 且 $\text{top}[q] < \text{top}[\neg q]$ 。另一方面, $p \vee q$ 对应了 G 中 $\langle \neg p, q \rangle$ 和 $\langle p, \neg q \rangle$ 两条边, 由 top 数组的定义知 $\text{top}[\neg p] \leq \text{top}[q]$ 且 $\text{top}[\neg q] \leq \text{top}[p]$ 。将以上四式连接即可推出矛盾。

(2)

(2.1) 如图7所示。

(2.2) 图7中涂黑的三个节点即为两两不相邻的节点, 令这些节点所对应的文字为真即得到 3-CNF 的一个成真赋值: x, y, z 均为假。

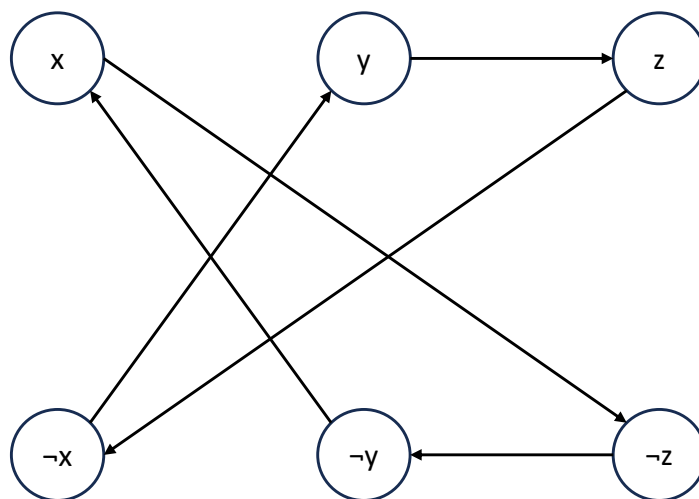


图 6: 2-CNF 有向图

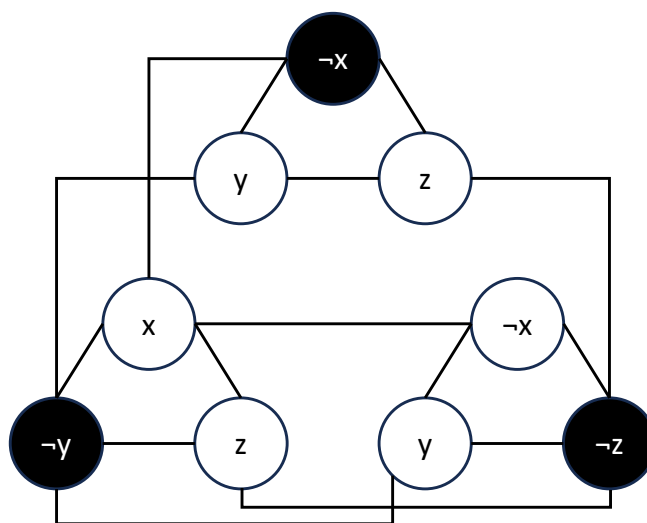


图 7: 3-CNF 无向图